

ความสัมพันธ์ระหว่างความสามารถในการรับน้ำหนักบรรทุก และราคา

ของ เสา เข็มคอนกรีตอัดแรง



นายกมล ไกรระวี

ศูนย์วิทยทรัพยากร จุฬาลงกรณ์มหาวิทยาลัย

วิทยานิพนธ์นี้เป็นส่วนหนึ่งของการศึกษาตามหลักสูตรปริญญาวิศวกรรมศาสตรมหาบัณฑิต

ภาควิชาวิศวกรรมโยธา

บัณฑิตวิทยาลัย จุฬาลงกรณ์มหาวิทยาลัย

พ.ศ. 2528

ISBN 974-564-938-4

013513

๙๑๕

Relationship between Capacity and Cost of Prestressed
Concrete Pile



Mr. Kamol Krairavee

ศูนย์วิทยทรัพยากร
อุปสงค์รัฐมหาวิทยาลัย

A Thesis Submitted in Partial Fullfillment of the Requirements

for the Degree of Master of Engineering

Department of Civil Engineering

Graduate School

1985

ISBN 974-564-938-4

หัวขอวิทยานิพนธ์	ความสัมพันธ์ระหว่างความสามารถในการรับน้ำหนักบรรทุกและ ราคาของเส้า เข็มคอนกรีตอัดแรง
โดย	นายกมล ไกรระชี
ภาควิชา	วิศวกรรมโยธา
อาจารย์ที่ปรึกษา	รองศาสตราจารย์ ดร.บุญสม เลิศหรรษ์ยุวงศ์
อาจารย์ที่ปรึกษาร่วม	ศาสตราจารย์ ดร.ดิเรก ลาวัณย์ศิริ



บัญชิดิ วิทยาลัย จุฬาลงกรณ์มหาวิทยาลัย อนุมัติให้นบวิทยานิพนธ์ ฉบับนี้ เป็นส่วนหนึ่ง
ของการศึกษา ตามหลักสูตรปริญญามหาบัณฑิต

..... คณบดี บัญชิดิ วิทยาลัย
(ศาสตราจารย์ ดร.สุประดิษฐ์ บุนนาค)

คณะกรรมการสอบวิทยานิพนธ์

..... ผู้ช่วยศาสตราจารย์ ดร.สุรพล จิราภรณ์ ประธานกรรมการ
(ผู้ช่วยศาสตราจารย์ ดร.สุรพล จิราภรณ์)

..... ผู้ช่วยศาสตราจารย์ ดร.สุประดิษฐ์ บุนนาค กรรมการ
(ศาสตราจารย์ ดร.สุประดิษฐ์ บุนนาค)

..... ผู้ช่วยศาสตราจารย์ ดร.ดิเรก ลาวัณย์ศิริ กรรมการ
(ศาสตราจารย์ ดร.ดิเรก ลาวัณย์ศิริ)

..... นายสุวรรณ แตงแก้วฟ้า กรรมการ
(รองศาสตราจารย์ ดร.บุญสม เลิศหรรษ์ยุวงศ์)

..... นายสุวรรณ แตงแก้วฟ้า กรรมการ
(นายสุวรรณ แตงแก้วฟ้า)

ลิขสิทธิ์ ของบัญชิดิ วิทยาลัย จุฬาลงกรณ์มหาวิทยาลัย

หัวข้อวิทยานิพนธ์ ความสัมพันธ์ระหว่างความสามารถในการรับน้ำหนักบรรทุก และราคา
ของ เสา เชือกคอนกรีตอัดแรง

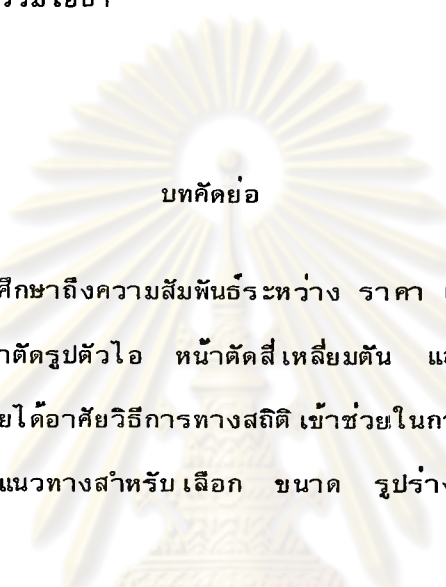
ชื่อนิสิต นายกมล ไกรระวี

อาจารย์ที่ปรึกษา รองศาสตราจารย์ ดร. บุญสม เลิศพิรัญวงศ์

อาจารย์ที่ปรึกษาร่วม ศาสตราจารย์ ดร. ติเจก ลาวัณย์ศิริ

ภาควิชา วิศวกรรมโยธา

ปีการศึกษา 2528



งานวิจัยนี้ เป็นการศึกษาถึงความสัมพันธ์ระหว่าง ราคา และ น้ำหนักบรรทุกของ เสา เชือก
คอนกรีตอัดแรงชนิดตอก หน้าตัดรูปตัวไอ หน้าตัดสี่เหลี่ยมด้าน และหน้าตัดกลมกลวง ที่ใช้งาน
ในบริเวณกรุงเทพฯ การวิจัยได้อาศัยวิธีการทางสถิติ เข้าช่วยในการวิเคราะห์ เพื่อให้ได้ความ
สัมพันธ์ที่สามารถนำไปใช้ เป็นแนวทางสำหรับเลือก ขนาด รูปร่าง และจำนวน เสา เชือกที่เหมาะสม
ในการออกแบบฐานราก

ข้อมูลที่ใช้ในการวิจัยประกอบด้วย ข้อมูลผลการทดสอบน้ำหนักบรรทุกของ เสา เชือกตอก
ตามแนวแกน ข้อมูลผลการ เจาะสำรวจคุณสมบัติของดินทางด้านวิศวกรรม และข้อมูลราคาขาย
เสา เชือก ข้อมูลที่รวบรวมขึ้นนี้ใช้สำหรับหาค่า เฉลี่ยน้ำหนักบรรทุก และราคาขายของ เสา เชือกหน้าตัด
ต่าง ๆ ที่มีความยาวเท่ากัน วิธีวิเคราะห์ได้ใช้สมการลดตอนแบบ เส้นตรง เข้ามาช่วย เพื่อให้ได้
ค่าซึ่งสามารถใช้เป็นตัวแทนของข้อมูลได้

ผลการวิจัยสรุปได้ดังต่อไปนี้

น้ำหนักบรรทุกและราคา เสา เชือกที่มีความยาวเท่ากันจะมีความสัมพันธ์กับขนาดเส้น
ผ่าศูนย์กลาง ซึ่งสามารถแทนด้วยสมการ เส้นตรงได้ ผลปรากฏว่า เมื่อเสา เชือกมีขนาดหน้าตัด
เพิ่มใหญ่ขึ้น อัตราการเพิ่มขึ้นของราคา เสา เชือกจะสูงกว่าอัตราการเพิ่มขึ้นของน้ำหนักบรรทุก
ตั้งนั้น การใช้เสา เชือกที่มีขนาดหน้าตัดเล็ก จะมีราคาต่ำต้นของน้ำหนักบรรทุกต่ำกว่าการใช้
เสา เชือกที่มีขนาดหน้าตัดใหญ่

ที่น้ำหนักบรรทุกเท่ากัน เสา เชือกหน้าตัดรูปตัวไอ ขนาด 0.22×0.22 สีง 0.30 x 0.30 จะมีราคาต่ำกว่า เสา เชือกกลวงขนาดเส้นผ่าศูนย์กลาง 0.25 สีง 0.30 เสา เชือกหน้าตัดรูปตัวไอขนาด 0.35×0.35 และ 0.40×0.40 จะมีราคาสูงกว่าเสา เชือกกลวงขนาดเส้นผ่าศูนย์กลาง 0.35, 0.40 และ 0.45 ส่วนเสา เชือกสีเหลืองตัน จะมีราคาสูงที่สุด แต่อย่างไรก็ตามการวิจัยนี้ไม่ได้คำนึงถึงโอกาสที่จะเกิดความเสียหายนอกเหนือจากภาระวินธิต เมื่อจากการรับน้ำหนักบรรทุกของเสา เชือกในแนวตั้ง เท่านั้น อาทิ เช่น ผลของ การทรุดตัว ความแน่นอนของสภาพ เสา เชือกภายหลังการตอก ตลอดจนความเสียหายที่เกิดขึ้น ในขณะล่งหรือขณะตอก ซึ่งมีผลเนื่องมาจากการรูปทรงทาง เเรขศาสตร์ที่แตกต่างกันโดยที่ค่า Section Modulus จะเป็นตัวกำหนดแรงเห็นที่เกิดขึ้นเนื่องจากแรงกระแทกและการชนล่ง

การเลือกใช้จำนวนเสา เชือกอย่างเหมาะสมจะมีผลต่อน้ำหนักบรรทุก และราคาของฐานรากเสา เชือกกลุ่ม โดยผลการวิจัยได้เสนอกราฟสัมพันธ์แสดงจำนวนเสา เชือกที่เหมาะสม สัมหารับฐานรากที่รับน้ำหนักบรรทุกปลดล็อกด้วยประมาณตั้งแต่ 50 ตัน สีง 500 ตัน และกราฟสัมพันธ์แสดงรูปร่างหน้าตัดและขนาดของเสา เชือกที่เหมาะสมสัมหารับฐานราก เสา เชือกกลุ่มจำนวนตั้งแต่ 2 ตัน จนถึง 9 ตัน เพื่อใช้เป็นแนวทาง เมื่อตั้งประกอบการออกแบบฐานราก

ศูนย์วิทยทรัพยากร จุฬาลงกรณ์มหาวิทยาลัย

Thesis Title Relationship between Capacity and Cost
 of Prestressed Concrete Pile
 Name Mr. Kamol Krairavee
 Thesis Advisor Associate Professor Dr. Boonsom Lerdhirunwong
 Thesis Co-Advisor Professor Dr. Direk Lavansiri
 Department Civil Engineering
 Academic Year 1985

ABSTRACT



Statistical decision theory is used to analyse the relationship between cost and capacity of prestressed concrete piles of I-section, solid square, circular hollow tubing forms (spun pile) in use in Bangkok area. The relation obtained is utilized to select suitable quantity, size and form of prestressed concrete piles in foundation design.

Linear regression analysis is used to predict the average cost and capacity of piles of same length from the pile load test result, soil profiles and pile cost data.

Results of the analysis can be boiled down into:

Loading capacity and cost of piles of equal lengths relates to pile diameter which can be replaced by linear equation; which replacement in case of increasing pile diameter reflects disproportionate increase of prices more than which of loading capacity; in other word using small cross-sectioned piles affects lower price ceiling per tonnage of loading capacity than which of larger cross-sectioned piles,

At equal level of loading capacity prices of I-Section piles of 0.22×0.22 to 0.30×0.30 shall be less than which of Spun piles of 0.25 to 0.30 diameter; while which of I-Section piles of 0.35×0.35 and 0.40×0.40 sizes higher than which of Spun piles of 0.35 and 0.40 and 0.45 sizes; and while the highest prices of all are which of the solid square pilings. Anyhow this research did not take into account any possible damages other than which of breakages in bearing loads laying vertically downward on ends of pile axis, such as which resulted from settlement, stability of piles after having been driven to batteries, inclusive of fractures caused in transit or by impact of the drop-weights which may also be collectively due to differences in geometric formations of the piles as its section modulus value shall be determinator for the degree of stresses thus incurred by either impact or the crutching of transportation.

To obtain pile group design that can resist all possible load combinations at the lowest possible cost, this analysis presents graph showing suitable number of piles that can resist allowable load 50 to 500 tons, and which showing suitable size and section of pile for the pile group of 2 to 9 piles, that can be used as a guide line for the pile foundation design purpose.

กิติกรรมประกาศ



ในการทำวิทยานิพนธ์นี้ ผู้เขียนขอกราบขอบพระคุณ รองศาสตราจารย์ ดร.บุญสม

เลิศหรรษวงศ์ อ้าครายที่ปรึกษาวิทยานิพนธ์ ที่กรุณาให้ความช่วยเหลือและคำแนะนำต่าง ๆ อันเป็นประโยชน์อย่างมากในการทำวิทยานิพนธ์ ตลอดจนได้ให้ความกรุณา เสียสละ เวลาตรวจสอบแก้ไข วิทยานิพนธ์ฉบับสำเร็จ เรียบร้อย ผู้เขียนขอกราบขอบพระคุณ ศาสตราจารย์ ดร.ดิเรก ลาวณย์ศิริ อ้าครายที่ปรึกษาร่วม ศาสตราจารย์ ดร. สุประดิษฐ์ บุนนาค ผู้ช่วยศาสตราจารย์ ดร. สุรพล จิวัลักษณ์ คุณสุวรรณ แตงแก้วฟ้า คณะกรรมการสอบวิทยานิพนธ์ ที่ได้กรุณาตรวจสอบแก้ไขให้คำแนะนำที่เป็นประโยชน์ อันทำให้วิทยานิพนธ์นี้มีความสมบูรณ์ยิ่งขึ้น นอกจากนี้ผู้เขียนขอขอบคุณ บริษัท ปูนซีเมนต์ไทย จำกัด บริษัท อินเตอร์คอนซัลต์ จำกัด บริษัท ชอย เทสติ้งสยาม จำกัด บริษัท นครหลวงวัสดุก่อสร้าง และคุณกริตตี้อัตต์แรง จำกัด และบริษัทผลิต เสา เชียงใหม่ ๆ ซึ่งได้กรุณาอนุเคราะห์ข้อมูลในการทำวิทยานิพนธ์

ท้ายที่สุด ผู้เขียนมีภาระ重任ที่จะแสดงความรำลึกถึงพระคุณของบิดา นารดา ที่ได้ให้ความสนับสนุน และกำลังใจแก่ผู้เขียนมาโดยตลอด จนสำเร็จการศึกษาในระดับนี้

กมล ไกรระวี

ศูนย์วิทยทรัพยากร
จุฬาลงกรณ์มหาวิทยาลัย



หน้า

บทคัดย่อภาษาไทย ๕
บทคัดย่อภาษาอังกฤษ ๖
กิติกรรมประกาศ ๗
สารบัญ ๘
รายการตารางประกอบ ๙
รายการรูปประกอบ ๑๐
สัญลักษณ์ ๑๑

บทที่

1. บทนำ	
1.1 ความเป็นมาของปัญหา ๑
1.2 วัตถุประสงค์ของการวิจัย ๑
1.3 ขอบเขตของงานวิจัย ๒
1.4 ประโยชน์ที่จะได้จากการวิจัย ๒
1.5 แหล่งที่มาของข้อมูล ๓
2. ทฤษฎีและบททวนงานในอดีต	
2.1 การทดสอบน้ำหนักบรรทุกของเสาเข็ม (Pile load test) ๔
2.2 ข้อกำหนดสำหรับจุดวินาศисของเสาเข็มเดียว (Failure Criteria) ๕
2.3 การคำนวณหากกำลังรับน้ำหนักบรรทุกของเสาเข็ม จากคุณสมบัติของดิน ๗
2.3.1 การคำนวณกำลังรับน้ำหนักบรรทุก ของเสาเข็มเดียวในดินเหนียว ๗
2.3.2 การคำนวณกำลังรับน้ำหนักบรรทุก ของเสาเข็มเดียวในชั้นทราย ๑๐

สารบัญ



หน้า

บทที่

2.4 ฐานรากเสาเข็มกลุ่ม 14
2.4.1 น้ำหนักบรรทุกของฐานรากเสาเข็มกลุ่ม 14
2.4.2 ขนาดของหมวดเสาเข็ม (Pile cap) 16
2.5 การออกแบบเสาเข็มคอนกรีตอัดแรง 22
2.5.1 วัสดุที่ใช้ในการผลิตเสาเข็ม 23
2.5.2 ข้อกำหนดในการออกแบบเสาเข็มคอนกรีตอัดแรง 25
2.5.2.1 ความเค้นที่เกิดขึ้นในเนื้อคอนกรีต 25
2.5.2.2 ความเค้นที่เกิดขึ้นในเหล็กเสริมตามยาว 27
2.6 หลักสถิติที่ใช้ในการวิจัย 28
2.6.1 รูปแบบเชิงเส้นตรงของการถดถอยแบบธรรมดា (Simple linear regression)
2.6.2 การประมาณค่า พารามิเตอร์ a,b และ c 29
2.6.3 การหาคุณภาพของเส้นถดถอยแบบธรรมดา 29
3. ข้อมูลที่ใช้ในการวิจัย 31
3.1 ข้อมูลผลการทดลองน้ำหนักบรรทุกของเสาเข็มตอก ในบริเวณกรุงเทพฯ 32
3.2 ข้อมูลการเจาะสำรวจคุณสมบัติของดินทางด้านวิศวกรรม 41
3.3 ข้อมูลราคาเสาเข็ม 43

4.	ขั้นตอนวิธีการวิเคราะห์และผลการวิจัย 47
4.1	น้ำหนักบรรทุกวิบัติและราคาเสาเข็ม 47
4.1.1	น้ำหนักบรรทุกวิบัติของเสาเข็ม 48
4.1.2	ราคาเสาเข็มค่อนกรีดอัดแรง 53
4.2	ความสัมพันธ์ระหว่างราคากับน้ำหนักบรรทุกวิบัติของเสาเข็ม 56
4.2.1	ความสัมพันธ์ระหว่างราคากับน้ำหนักบรรทุกของเสาเข็มที่มีหน้าตัดชนิดเตี้ยกวัน 56
4.2.2	ความสัมพันธ์ระหว่างราคากับน้ำหนักบรรทุกของเสาเข็มที่มีหน้าตัดต่างชนิดกัน 59
4.3	ความสัมพันธ์ระหว่างราคากับน้ำหนักบรรทุกของฐานรากเสาเข็มกลุ่ม 61
4.3.1	การกำหนดขนาดของฐานรากเสาเข็มเพื่อใช้ประมาณค่าน้ำหนักบรรทุกและราคา 61
4.3.2	การหาความสัมพันธ์ระหว่างน้ำหนักบรรทุกและราคาของฐานรากเสาเข็มกลุ่ม 65
4.3.2.1	การเลือกจำนวนเสาเข็มที่เหมาะสม 65
4.3.2.2	การเลือกขนาดหน้าตัดของเสาเข็ม 68
5.	สรุปผลการวิจัยและขอ เสนอแนะ 73
5.1	ผลการวิจัย 73
5.2	ข้อจำกัดของผลการวิจัย 76
5.3	ขอ เสนอแนะ 77

เอกสารอ้างอิง78
ภาคผนวก ก. กราฟแสดงความสัมพันธ์ระหว่างน้ำหนักบรรทุกกับระยะหักดิ่งตัวของเสาเข็มและการประมาณค่าคำนวณบรรทุกวัสดุด้วยวิธีการ80
ของ Mazurkiewicz, 1972	
ข. ตัวอย่างการคำนวณหาค่าน้ำหนักบรรทุกวัสดุ โดยใช้ Statics pile formula และข้อมูลผลการเจาะสำรวจคุณสมบัติของดินทางด้านวิศวกรรม125
ค. การออกแบบเสาเข็มคอนกรีตอัดแรงหน้าตัดรูปตัวไอส์เหลี่ยมตัน และกลมกลวง มีขนาด เส้นผ่าศูนย์กลางตั้งแต่ 0.22 เมตร จนถึง 0.60 เมตร ที่ความยาวเสาเข็มเท่ากับ 23.0 เมตร ยกเว้นเสาเข็มกลมกลวงมีความยาวเท่ากับ 11.50 เมตร (สองห้องต่อ เชื่อม) 156
ง. น้ำหนักบรรทุกวัสดุของเสาเข็มเหลี่ยมที่มีความยาว 23.0 เมตร163
จ. น้ำหนักบรรทุกปลดภัย ราคา และขนาดของฐานรากเสาเข็มกลมที่มีจำนวนเสาเข็มตั้งแต่ 2 ตัน จนถึง 9 ตัน167

รายการตารางประกอบ

ตารางที่

2.1	ประสิทธิภาพของเสาเข็มกลุ่ม Feld,J (1943)17
2.2	ความเค้นต่าง ๆ ในค่อนกรีตสำหรับเสาเข็มค่อนกรีตอัดแรงหล่อสำเร็จ26
2.3	ความเค้นต่าง ๆ ในค่อนกรีตของเสาเข็มค่อนกรีตเสริมเหล็กอัดแรงหล่อสำเร็จแบบแรงเหวี่ยง27
3.1	รายละเอียดของข้อมูลผลการทดสอบน้ำหนักบรรทุกเสาเข็ม34
3.2	การเปรียบเทียบน้ำหนักบรรทุกวิบัติของเสาเข็มที่ได้จากการทดสอบและประมาณการโดยวิธีของ Mazurkiewicz, (1972)39
3.3	น้ำหนักบรรทุกวิบัติของเสาเข็มคำนวณจาก Statics pile formula เลือกเฉพาะเสาเข็มที่มีการทดสอบจนถึงจุดวิบัติและมีข้อมูลการเจาะสำรวจ42
3.4	ราคาเสาเข็มค่อนกรีตอัดแรง45
4.1	น้ำหนักบรรทุกของเสาเข็มเฉลี่ยที่ความยาว 23.0 เมตร50
4.2	ค่าเฉลี่ยน้ำหนักบรรทุกวิบัติ (P_u) และราคาเสาเข็ม (C_p) ที่ได้จากการ (4.1) ถึง (4.6)55
4.3	ขนาดความหนาของหัวเสาเข็ม (Pile cap depth)61
4.4	ประสิทธิภาพของเสาเข็มกลุ่ม (Feld,1943)63

ตารางที่

4.5	น้ำหนักบรรทุกปลอกภัยและราคาฐานรากเสา เชิ้มกลุ่ม64
4.6	สมการลดด้อยแบบเลี้ยวตรงแสดงความสัมพันธ์ระหว่าง น้ำหนักบรรทุกปลอกภัย (P_g) กับราคา (C_f) ของฐานรากเสา เชิ้มกลุ่ม65
4.7	ค่าราคาต่อหน่วยน้ำหนักบรรทุกสูงสุด และตัวสูตรของ ฐานรากเสา เชิ้มกลุ่ม66



ศูนย์วิทยทรัพยากร จุฬาลงกรณ์มหาวิทยาลัย

รายการรูปประกอบ

รูปที่

2.1 วิธีหน้าหนักบรรทุกวิบัติจากช้อมูลผลการทดสอบน้ำหนักบรรทุกของเสาเข็ม เสนอ โดย Mazurkiewicz, B.K. (1972)6
2.2 ความสัมพันธ์ระหว่างค่า α กับ N สำหรับเสาเข็ม ตอกที่ เสนอ โดย Tomlinson (1970) และ Holmberg (1970)9
2.3 ความสัมพันธ์ระหว่างค่า q_u กับ N(SPT) ของดินเหนียว เสนอ โดย Sower (1961)11
2.4 ก. แฟคเตอร์ที่ใช้ปรับแก้ค่า N ในดิน Cohesionless soil เนื่องจากอิทธิพลของความกดดันประลักษณ์ จากน้ำหน้าดินชั้นบนที่ เสนอ โดย Peck Hanson และ Thornburn (1974) ข. ความสัมพันธ์ระหว่าง N(SPT) กับมุม ϕ , N_q และ N_g ที่เสนอโดย Peck, Hanson และ Thornburn (1974)13
2.5 แสดงการวินาศัยของเสาเข็มกลุ่มแบบกล่อง (Block failure)15
2.6 ประลักษณ์ภาพของเสาเข็มกลุ่มในดินเหนียว (Sowers et al, 1961)18
2.7 ความสัมพันธ์ของเสาเข็มกลุ่มแบบอิสระ (Freestanding group) จำนวน 2^2 ถึง 9^2 ความยาวเสาเข็มตั้งแต่ 12d ถึง 48d (from model tests after de Mello, 1969)18

รายการสรุปประกอบ

รูปที่

2.8 ขนาดของหมวดเสาเข็ม (Whittle R.T, and D. Beattie, 1972)20
2.9 ความสัมพันธ์ระหว่างราคากลางของหมวดเสาเข็มกับ ขนาดความลึกของหมวดเสาเข็ม (Whittle R.T, and D. Beattie, 1972)21
2.10 ปริมาณเหล็กปลอก24
3.1 แสดงการเปรียบเทียบค่าน้ำหนักบรรทุกวิบัติของ เสาเข็มระหว่างค่าที่วัดได้จากการทดสอบกับค่าที่ ประมาณการตามวิธีของ Mazurkiewicz, 197240
3.2 ความสัมพันธ์ระหว่างน้ำหนักบรรทุกวิบัติที่หาได้โดย การคำนวณจากข้อมูลการเจาะสำรวจกับการทดสอบ เสาเข็ม43
3.3 ความสัมพันธ์ระหว่างราคากลางของเสาเข็ม กับ ราคา วัสดุคืบที่ใช้ในการผลิต46
4.1 ความสัมพันธ์ระหว่างความยาว เส้นผ่าศูนย์กลาง กับน้ำหนักบรรทุกวิบัติของเสาเข็มหน้าตัดรูปไข่ ลี่เหลี่ยมตัน และกลมกลวง52
4.2 ความสัมพันธ์ระหว่างความยาว เส้นผ่าศูนย์กลางกับ ราคากลางเสาเข็มรวมค่าตอก ของเสาเข็มหน้าตัดรูปไข่ ลี่เหลี่ยมตัน และกลมกลวง54
4.3 ความสัมพันธ์ระหว่างขนาดความยาวเส้นผ่าศูนย์กลาง ของเสาเข็ม,d กับค่า $P_u^{'}, C_p^{'}$ และ $C_u^{'}/P_u^{'}$57
4.4 ความสัมพันธ์ระหว่างอัตราการเพิ่มขึ้นของน้ำหนัก บรรทุก ($P_u^{'}$) กับอัตราการเพิ่มขึ้นของราคา ($C_p^{'}$)58

รายการรูปประกอบ

รูปที่

4.5 ความสัมพันธ์ระหว่างน้ำหนักบรรทุก เสา เชิ่ม (P_u) กับราคาเสา เชิ่มต่อหน่วยของน้ำหนัก บรรทุก ($C_p : P_u$) 60
4.6 สักษณะการจัดเรียงของเสา เชิ่มกลุ่ม และ ขนาดหน้าตัดของหมวดเสา เชิ่ม (Pile cap) (Whittle R.T. and D. Beattie, 1972) 62
4.7 ความสัมพันธ์ระหว่าง P_g กับ $C_f : P_g$ ของฐานรากเสา เชิ่มกลุ่ม 67
4.8 ความสัมพันธ์ระหว่างน้ำหนักบรรทุก (P_g) กับราคาต่อหน่วยน้ำหนักบรรทุกของฐานราก เสา เชิ่มจำนวน 2 ตัน 69
4.9 ความสัมพันธ์ระหว่างน้ำหนักบรรทุก (P_g) กับราคาต่อหน่วยน้ำหนักบรรทุกของฐานราก เสา เชิ่มจำนวน 3 ตัน 69
4.10 ความสัมพันธ์ระหว่างน้ำหนักบรรทุก (P_g) กับราคาต่อหน่วยน้ำหนักบรรทุก ของฐานรากเสา เชิ่มจำนวน 4 ตัน 70
4.11 ความสัมพันธ์ระหว่างน้ำหนักบรรทุก (P_g) กับราคาต่อหน่วยน้ำหนักบรรทุกของฐานราก เสา เชิ่มจำนวน 5 ตัน 70
4.12 ความสัมพันธ์ระหว่างน้ำหนักบรรทุก (P_g) กับราคาต่อหน่วยน้ำหนักบรรทุกของฐานราก เสา เชิ่มจำนวน 6 ตัน 71

รูปที่

4.13 ความสัมพันธ์ระหว่างน้ำหนักบรรทุก (P_g) กับราคาต่อหอน่วยน้ำหนักบรรทุกของฐานราก เสาเข็มจำนวน 7 ตัน 71
4.14 ความสัมพันธ์ระหว่างน้ำหนักบรรทุก (P_g) กับราคาต่อหอน่วยน้ำหนักบรรทุกของฐานราก เสาเข็มจำนวน 8 ตัน 72
4.15 ความสัมพันธ์ระหว่างน้ำหนักบรรทุก (P_g) กับราคาต่อหอน่วยน้ำหนักบรรทุกของฐานราก เสาเข็มจำนวน 9 ตัน 72


**ศูนย์วิทยทรัพยากร
จุฬาลงกรณ์มหาวิทยาลัย**

รายการสัญญาลักษณ์



A_p	= พื้นที่หน้าตัดที่ปลายเสา เชิ่ม
A_s	= พื้นที่ผิวประสีทิพย์ของเสา เชิ่ม
a	= ค่า intercept ของ Y เมื่อ $X = 0$ ในสมการถดถอย
b	= ค่าความชันของเส้นตรงที่ผ่านจุด \bar{Y}
C	= หน่วยแรงยืด เกาะของดิน
C_c	= ราคาของหมวดเสา เชิ่ม
C_f	= ราคากลุ่มของฐานรากเสา เชิ่ม
C_p	= ราคาเสา เชิ่ม เดียว
C'_p	= อัตราการเพิ่มขึ้นของค่า C_p
c	= ค่าความชันของเส้นตรงที่ผ่านจุด 0
c'	= จุดศูนย์กลางความถ่วงของหน้าตัดเสา เชิ่ม
D	= ความลึกของหมวดเสา เชิ่ม
d	= ขนาดเส้นผ่าศูนย์กลางของเสา เชิ่ม
f'_c	= ความเค็นอัดสูงสุดของคอนกรีต
f'_{ci}	= f'_{ci} สูงสุดก่อนจะตัดหรือปล่อยลาด เหล็กสำหรับงานคอนกรีตอัดแรง
f_{ci}	= ความเค็นอัดที่ยอมให้คอนกรีตรับได้มากที่สุดขณะตัดหรือปล่อยลาด เหล็กสำหรับงานคอนกรีตอัดแรง
f_{ca}	= ความเค็นอัดใช้งานที่ยอมให้คอนกรีตรับได้มากที่สุดตลอดเวลาที่รับน้ำหนัก
f_{ta}	= ความเค็นตึงที่ยอมให้คอนกรีตรับได้มากที่สุดขณะล่งหรือยกขึ้นตอก
f_e	= ความเค็นอัดในเนื้อคอนกรีตก่อนใช้งาน หลังจากหักค่าการเสื่อมสูญ การอัดแรงแล้ว
f_s	= หน่วยแรง เสียดทานที่ผิวของเสา เชิ่ม
f'_s	= ความเค็นตึงสูงสุดที่ลาด เหล็กสำหรับงานคอนกรีตอัดแรง
G	= แรงเค้นที่เกิดขึ้นเนื่องจากการกระแทก และการชนลิ่ง

I_x	=	Moment of inertia X - axis
I_y	=	Moment of inertia Y - axis
K_o	=	สัมประสิทธิ์ความกดตันด้านข้างชนิด at rest
K_s	=	สัมประสิทธิ์ความกดตันด้านข้างของดิน
l_n	=	ความหนาของชั้นดิน
M	=	โมเมนต์ที่เกิดจากน้ำหนักคงที่
M'	=	โมเมนต์ที่เกิดจากน้ำหนักคงที่บวก 50% ที่เกิดจากแรงกระแทก
N	=	ค่าทดสอบแรงทะลุนาตรฐาน (Standard Penetration Test)
N_c , N_q , N_γ	=	Bearing Capacity Factor
n	=	จำนวนเสาเข็มในฐานราก เสา เข็มกลุ่ม
P_a	=	น้ำหนักบรรทุกปลดภัยของ เสา เข็ม เดียว
P_g	=	น้ำหนักบรรทุกปลดภัยของ เสา เข็มกลุ่ม
P_u	=	น้ำหนักบรรทุกวีบติ เฉลี่ย
P'_u	=	อัตราการเพิ่มขึ้นของค่า P_u
φ_p	=	แรงต้านทานที่ปะลาย เสา เข็ม
φ_s	=	แรงต้านทานที่ผิว เสา เข็ม
φ_{ult}	=	กำลังรับน้ำหนักบรรทุกวีบติของ เสา เข็ม
φ_t	=	น้ำหนักบรรทุกวีบติวัดได้จากการทดสอบ
φ_{maz}	=	น้ำหนักบรรทุกวีบติประมาณการจาก เส้นกราฟความสัมพันธ์ระหว่าง น้ำหนักบรรทุก กับ ระยะที่รุดตัวของ เสา เข็มด้วยวิธีของ Mazurkiewicz (1972)
φ_c	=	น้ำหนักบรรทุกวีบติคำนวณจากข้อมูลการเจาะสำรวจดิน
q_p	=	หน่วยแรงต้านที่ปะลาย เสา เข็ม
q_u	=	ค่าหน่วยแรงที่ได้จากการทดสอบแบบ UC (Unconfined compression test)
R^2	=	คุณภาพของเส้นก่อถอย
S_u	=	ค่าหน่วยแรงเฉือนของดินแบบอันเดรน

S_x	=	Section modulus ร่องแกน	X
S_y	=	Section modulus ร่องแกน	Y
s	=	Shape factor	
UC	=	การหากำลังรับแรง เฉื่อนของดินแบบอิสระด้านข้าง (Unconfined Compression test)	
UU	=	การหากำลังรับแรง เฉื่อนของดินที่ไม่ถูกอัดตัว cavity นำมาก่อนในสภาพ อันเดรน (Unconsolidated Undrained Triaxial compression test)	
V_c	=	ปริมาตรของหมวด เสา เชิ้ม	
W	=	น้ำหนักเสา เชิ้ม	
α	=	ค่าตัวประกอบการยึดเกาะ	
β	=	Shape factor ของฐานรากตื้น	
γ	=	หน่วยน้ำหนักของดิน	
	=	ค่าความเค้นประสิทธิผล เนื่องจากน้ำหนักดินชั้นบน	
σ_v	=	ค่าเฉลี่ยความเค้นประสิทธิผลในแนวตั้งของดินหลอดความยาว ของเสา เชิ้ม	
σ_{vd}	=	ความเค้นประสิทธิผลของดินที่ระดับปลายเสา เชิ้มในชั้นดินราย ปนดิน เห็นได้	
ϕ	=	มุม เฉียดทานภายนอกของดิน	
	=	มุม เฉียดทานระหว่างดินกับเสา เชิ้ม	

ศูนย์รวมทรัพยากร
จุฬาลงกรณ์มหาวิทยาลัย